УДК 539.121.8.04;621.9.047.7

# ВЛИЯНИЕ ОБРАБОТКИ ПУЧКАМИ ИОНОВ (Cr+B) ПОВЕРХНОСТНОГО СЛОЯ СТАЛИ 38ХНЗМФА НА ИЗНОСОСТОЙКОСТЬ

А.Р. Сунгатулин, В.П. Сергеев\*, М.В. Федорищева, О.В. Сергеев

Институт физики прочности и материаловедения СО РАН, г. Томск \*Томский политехнический университет E-mail: techimpl@mail.tomsknet.ru

Исследовано изменение структурно-фазового состояния и распределения элементов в поверхностном слое стали 38ХНЗМФА при имплантации пучками ионов (Cr+B), а также изменение износостойкости и твердости при работе в паре трения «сталь 38ХНЗМФА – полиамид ПА-66». Обнаружено повышение трибомеханических свойств стали при модификации поверхностного слоя композиционным ионным пучком, которое связывается с изменением структурно-фазового состояния этого слоя.

#### Ключевые слова:

Имплантация пучками ионов (Cr+B), пара трения «сталь  $38XH3M\Phi A$  – полиамид  $\Pi A$ -66», микротвердость и износостойкость, фазовый состав.

#### Key words:

Implantation by ion beams (Cr+B), friction pair «steel 38XH3M $\Phi$ A – polyamide  $\Pi$ A-66», microhardness and wear resistance, phase composition.

# 1. Введение

Повышение износостойкости является актуальной задачей для ряда принципиально важных схем контактного взаимодействия металлополимерных пар трения, в частности, для широко применяемых в химической и газовой промышленности механических уплотнений, регулирующих значительные перепады давлений водородосодержащих газов [1]. Исследования поведения поверхностных слоев материалов при нагружении, выполненные в последние годы, показывают, что получение неравновесных состояний тонких поверхностных слоев позволяет улучшать триботехнические и механические свойства материалов. Эффективным путем является создание в поверхностном слое наноструктуры, имеющей значительную объемную долю дефектной фазы. В результате создается поверхностный наноструктурированный слой, который способен затруднять генерацию дислокаций и образование микротрещин в поверхностном слое и их проникновение в объем материала, что задерживает деградацию поверхностного слоя и предотвращает преждевременный износ и разрушение материала.

Одним из методов создания неравновесных наноструктур в поверхностном слое металлов и сплавов является обработка ионными пучками высокой энергии [1]. В работе [2] отмечается, что ионная имплантация в поверхностный слой мартенситных сталей ШХ-15 и 38ХНЗМФА нескольких элементов одновременно, таких, как (Ti+B) и (Al+B), при прочих равных условиях обработки является более эффективной, чем имплантация одного элемента. Целью настоящей работы является изучение влияния поверхностной обработки композиционным пучком ионов (Cr+B) стали 38XH3MФA на ее микротвердость и износостойкость при изнашивании в паре трения с полиамидом ПА-66, а также на элементный состав и структурно-фазовое состояние поверхностного слоя.

# 2. Методика эксперимента

Облучение композиционными пучками (Cr+B) ионов проводилась с помощью вакуумно-дугового импульсного ионного источника типа «ДИАНА-2» при ускоряющем напряжении 80 кВ, амплитуде тока ионного пучка - 580 мА, частоте импульсов -50 Гц, длительности импульса — 250 мкс. Остаточное давление в вакуумной камере ~3·10-3 Па. Двухкомпонентные пучки ионов (Cr+B) получали путем применения композиционных катодов, содержащих по данным рентгенофазового анализа 60 об. % Ст и 40 об. % В, изготовленных методом порошковой металлургии. Методом рентгеноструктурного анализа установлено, что материал катода представляет собой двухфазную смесь CrB с орторомбической кристаллической решеткой (пространственная группа  $\mathit{Cmcm}$ ) и  $\mathsf{Cr}_5\mathsf{B}_3$  с тетрагональной кристаллической решеткой (І4/мсм). Температура нагрева образцов в процессе имплантации не превышала 150 °C. Суммарное время имплантации — 18 мин.

Методы приготовления образцов и материалы, методики исследования их поверхностного слоя, определения микротвердости и применяемая для этого аппаратура описаны нами ранее в [3]. Испытание на трение и износ проводились на машине трения 2070СМТ-1. Величина износостойкости определялась как отношение времени изнашивания  $\Delta t$  к величине убыли массы образца  $\Delta m$ . В отличие от [3] изнашивание образцов проводили в водной среде по схеме «вал-колодка». В качестве детали типа «вал» использовался диск, изготовленный из полиамида ПА-66. Время изнашивания каждого образца — 8 ч. Образцы взвешивались до и после изнашивания. Измерение нанотвердости поверхностного слоя проводилось с помощью нанотвердомера Nano-Hardness Tester CSM. Концентрационные профили элементов по толщине поверхностного слоя исследовались масс-спектрометром вторичных ионов МС-7201М.

Рентгеноструктурные исследования образцов до и после имплантации выполняли с помощью дифрактометра ДРОН-3 в интервале углов 19...150° в фильтрованном  $CuK_{\alpha}$ -излучении. Использование основных дифракционных максимумов позволило провести качественный фазовый анализ и рассчитать параметры кристаллических решеток основной фазы. Электронно-микроскопические исследования проводили на электронном микроскопе 9M-125 с использованием режима микродифракции и методики темного поля. По данным электронной микроскопии проводили идентификацию фаз, измеряли размер зерна композитного покрытия.

# 3. Результаты и обсуждение

На основании полученных кривых изменения глубины наноиндентирования h(P) были определены значения микротвердости H и модуля упругости E поверхностного слоя образцов. Изучение их кинетики изнашивания позволило установить величину износостойкости. Видно (табл. 1), что облучение пучками ионов (Cr+B) образцов, изготовленных из стали 38ХНЗМФА, не приводит в пределах погрешности измерений к изменению микротвердости и модуля упругости, но почти в 2 раза увеличивает износостойкость поверхностного слоя стали 38ХНЗМФА. Для того чтобы выяснить причину наблюдаемого изменения трибомеханических свойств были выполнены послойный анализ элементного состава поверхностного слоя, обработанного пучком ионов, и исследование его структуры и фазового состава.

**Таблица 1.** Средние значения твердости Н, модуля упругости Е и износостойкости ∆t/∆т исходных и имплантированных образцов стали 38ХНЗМФА в паре трения с полимером «Полиамид ¬ ПА-66» при изнашивании в дистиллированной воде

Тип образцов	<i>Н</i> , ГПа	<i>Е</i> , ГПа	$\Delta t/\Delta m$ , 10 $^{8}$ c/Γ
Исходные	7,63±0,65	220±20	1,0 ± 0,1
Обработанные пучком ионов (Cr+B)	8,48±0,5	200±20	1,9 ± 0,2

На рис. 1 приведены кривые изменения атомной концентрации C(h) ионов хрома и бора с ростом глубины h ионно-имплантированного поверхностного слоя образцов стали, полученные с помощью метода масс-спектрометрии вторичных ионов. Видно, что с ростом глубины концентрация имплантированных ионов повышается от некоторой начальной величины  $C_0$  до максимального значения  $C_{\max}$ , а затем плавно понижается до нуля. Сравнение полученных кривых C(h) показывает, что в пределах экспериментальной погрешности среднее значение глубины внедрения ионов бора, так же как и ионов хрома, равно  $\langle h_{\rm B} \rangle = \langle h_{\rm Cr} \rangle = 40 \pm 4$  нм. Определенное на основе полученных концентрационных профилей среднее значение глубины внедрения ионов бора значительно ниже расчетной величины проективной длины их пробега  $R_n$ =93 нм в железе [4] при

ускоряющем напряжении 80 кB и величине зарядности этих ионов, равной +1e.

Отклонение экспериментальных значений от расчетных может быть связано с отсутствием в пучке отдельных положительно заряженных ионов бора в связи с недостаточно высокой энергией дуги, испаряющей и ионизирующей материал катода в ионном источнике. По-видимому, в данном случае ионный пучок состоит из ионов металла и однозарядных положительно заряженных металл-металлоидных заряженных комплексов CrB+, которые, будучи ускоренными электрическим полем до энергии 80 кэВ, распадаются при соударении с поверхностью образца на ионы Cr<sup>+</sup> и B<sup>+</sup>, обладающие меньшими энергиями. В этом случае средняя энергия ионов бора должна быть меньше 80 кэВ и, следовательно, средняя длина их пробега менее 93 нм [4], что и зафиксировано в эксперименте. Среднее значение глубины внедрения ионов хрома больше расчетной величины их среднего проективного пробега -24 нм [4], что может быть обусловлено повышением их зарядности выше +1e [5].

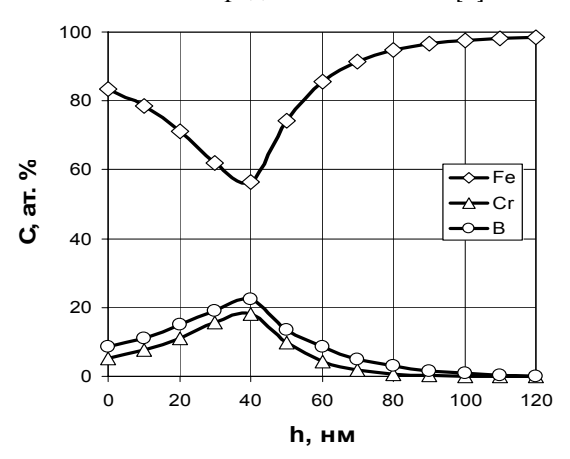


Рис. 1. Кривые изменения атомной концентрации C(h) ионов хрома и бора с ростом глубины h имплантированного поверхностного слоя образцов стали 38ХНЗМФА, полученные с помощью метода массспектрометрии вторичных ионов

Методом рентгеноструктурного анализа исследована сталь  $38XH3M\Phi A$  в исходном состоянии и после имплантации в нее ионов Cr и B. Установлено, что в исходном состоянии сталь имеет параметр решетки, характерный для сталей этого класса, a=2,8666 Å. Имплантация упомянутых выше ионов приводит к изменению параметра решетки основной фазы. Различие в параметре решетки исходной стали и имплантированной ионами Cr и B незначительно: 2,8666 и 2,8683 Å" В

соответственно. Это связано с тем, что  $\alpha$ -Fe с хромом образует непрерывную область твердых растворов. Имея близкие атомные радиусы (1,27 у  $\alpha$ -железа и 1,25 Å у хрома), хром практически полностью растворяется в  $\alpha$ -Fe. Бор может входить решетку  $\alpha$ -Fe как примесь внедрения в небольшом количестве: не более 0,001 %. В решетке хрома растворяется не более 2 % бора. Из сопоставления

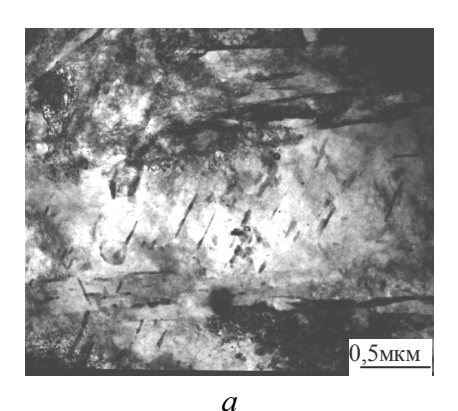
равновесных диаграмм состояния Fe-B и Cr-B можно сделать заключение, что бор в твердый раствор  $\alpha$ -FeCr должен входить в большем количестве, чем в  $\alpha$ -Fe [6]. Таким образом, наблюдаемое увеличение параметра решетки в облученном поверхностном слое стали 38XH3M $\Phi$ A связано, повидимому, с внедрением ионов бора в кристаллическую решетку.

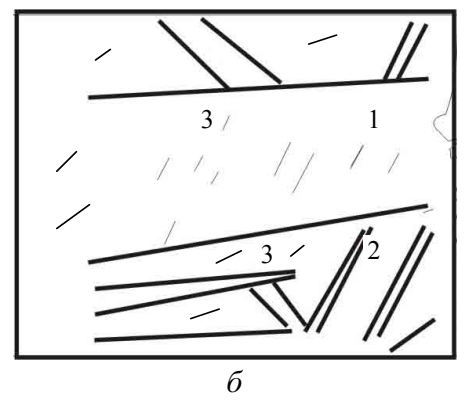
На рис. 2 приведено электронно-микроскопическое изображение тонкой структуры стали 38ХН3МФА в исходном состоянии. Видно, что сталь представляет собой пакетно-пластинчатый мартенсит с выделениями цементита Fe<sub>3</sub>C игольчатой формы внутри мартенситных кристаллов. Необходимо отметить, что после ионной имплантации выделения цементита, характерные для исходного состояния, практически исчезают. По всей видимости, бор, образуя на поверхности стали соединение Fe<sub>3</sub>B, вместе с цементитом Fe<sub>3</sub>C преобразуются в сложный борокарбид железа с такой же как у цементита кристаллической решеткой. Исходная сталь под действием ионов фрагментируется (рис. 3, а). Размеры фрагментов составляют около 100 нм.

Электронно-микроскопические исследования показали, что на поверхности стали 38ХН3МФА после ионной имплантации образуется сложный

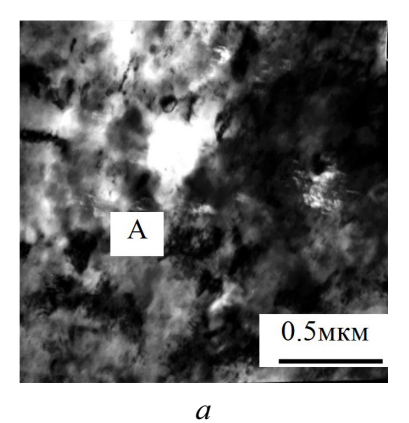
комбинированный агрегат, состоящий из двух-, трех- и четырехфазных смесей. Встречаются они примерно в равных объемных долях. Наиболее простая смесь двухфазная: α-Fe+CrB (табл. 2). Как правило, CrB – мелкие частицы размером меньше 10 нм (в небольшом количестве), которые располагаются на дислокациях внутри фрагментов  $\alpha$ -фазы. Следующая смесь, трехфазная, наряду с  $\alpha$ -фазой содержит крупные выделения СгВ2 и близкие к аморфным выделения  $Cr_5B_3$  (табл. 2). Эта последняя фаза рассеяна в ряде крупных и мелких образований. Четырехфазные образования содержат все перечисленные ранее фазы (табл. 2). В связи с этим контраст на электронограммах достаточно сложный. Микродифракционная картина, полученная с таких участков структуры, представляет собой, как правило, кольцевые рефлексы (рис. 3,  $\delta$ ,  $\epsilon$ ). Внутри первого кольца видны затемненные кольца, так называемое гало, имеющие радиусы, соответствующие фазе  $Cr_5B_3$  с тетрагональной кристаллической решеткой (I4/mcm) с параметрами: a=0.537 нм; c=1,0184 HM.

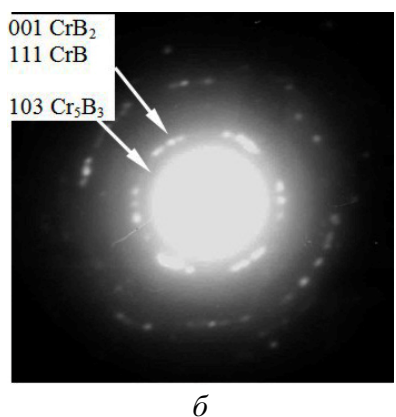
На изображениях поверхности, полученных методом электронной микроскопии, видны мелкие частицы округлой формы размером около 10 нм, которые представляют собой фазу CrB с тетрагональной кристаллической решеткой Стет с пара-

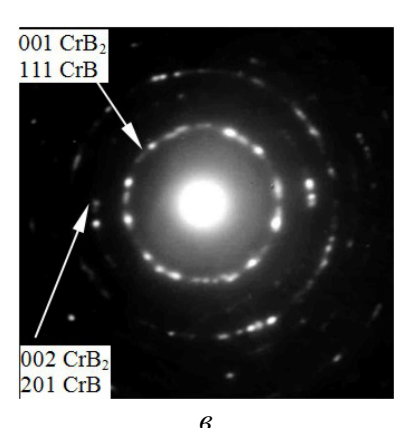




**Рис. 2.** Электронно-микроскопическое изображение тонкой структуры стали 38ХНЗМФА в исходном состоянии и схема расположения пластин (1) и реек (2) в ней. (3) – игольчатые выделения цементита в структуре стали







**Рис. 3.** Электронно-микроскопическое изображение (а) поверхностного слоя стали 38ХНЗМФА, обработанного пучком ионов (Cr+B); микродифракционные картины (б, в), полученные вблизи участка A, демонстрирующие обнаруженные фазы

метрами a=0,2946 нм, c=1,568 нм. Частицы фазы  $CrB_2$ , обладающей гексагональной плотноупакованной кристаллической решеткой, имеют более крупный размер. Зерна этой фазы имеют вытянутую форму с размерами  $30 \times 100$  нм и представлены точечными рефлексами на микродифракционной картине.

**Таблица 2.** Фазовый состав поверхностного слоя стали 38ХНЗМФА, обработанного пучком ионов (Cr+B), и характеристики входящих фаз

		_	
Фазовый состав участ- ков имплантированно- го поверхностного слоя	Фаза	Тип струк- туры	Размер образований, нм
α-Fe	lpha-Fe	lm3m	100 (фрагменты)
$\alpha$ -Fe+Cr <sub>5</sub> B <sub>3</sub> +CrB <sub>2</sub>	Cr <sub>5</sub> B <sub>3</sub>	14/mcm	Близкая к аморфной
$\alpha$ -Fe+Cr <sub>5</sub> B <sub>3</sub> +CrB <sub>2</sub> + CrB	CrB	Cmcm	10
α-Fe+CrB <sub>2</sub> +CrB	CrB <sub>2</sub>	P6/mmm	30×100

Средняя скалярная плотность дислокаций в стали в исходном состоянии составляет 5·10<sup>10</sup> см². При этом дислокации распределены равномерно по всему материалу. В имплантированной стали дислокации распределены неравномерно: встречаются места с большой скалярной плотностью дислокаций (средняя скалярная плотность дислокаций в них составляет 1,5·10<sup>10</sup> см²) и места, совер-

#### СПИСОК ЛИТЕРАТУРЫ

- 1. Байбарацкая М.Ю., Блесман А.И.. Калистратова Н.П., Овчар З.Н. Исследование модифицированных структур стальных деталей металлополимерных трибосистем // Трение и износ. 1998. Т. 19. № 4. С. 510—516.
- 2. Сергеев В.П., Сунгатулин А.Р., Сергеев О.В., Пушкарева Г.В. Нанотвердость и износостойкость высокопрочных сталей 38ХНЗМФА и ШХ15, имплантированных ионами (A1+B), (Ti+B), Ti // Известия Томского политехнического университета. 2006. Т. 309. № 1. С. 120–125.
- Сергеев В.П., Федорищева М.В., Сунгатулин А.Р., Козлов Э.В., Коротаев А.Д. Изменение износостойкости стали 38ХНЗМФА при магнетронном напылении нанокомпозитных покрытий на основе Fe-Cr-Ni-N // Физическая мезомеханика — 2005. — Т. 8. — Спец. выпуск. — С. 117—120.

шенно свободные от дислокаций. Вероятно, что в ходе имплантации произошел дислокационный возврат.

#### Выводы

Исследовано изменение структурно-фазового состояния и распределения элементов в поверхностном слое стали 38ХНЗМФА при имплантации пучками ионов (Cr+B). Показано, что при обработке стали пучком ионов (Cr+B) происходит фрагментация поверхностного слоя и увеличение параметра его решетки. Этот слой обогащается атомами внедренных элементов до разной степени и на различную глубину, что определяет не только градиент химического состава, но и изменение структурнофазового состояния по глубине слоя. При имплантации композиции ионов происходит интенсивное выделение новых мелкодисперсных упрочняющих фаз и растворение исходных. В поверхностном слое стали 38ХН3МФА формируются участки, содержашие разное соотношение фаз:  $\alpha$ -Fe,  $Cr_5B_3$ ,  $CrB_2$ , СгВ. Увеличивается параметр кристаллической решетки имплантированной стали. В результате такого изменения структурно-фазового состояния повышаются микротвердость и модуль упругости поверхностного слоя имплантированных образцов стали 38ХНЗМФА и износостойкость при работе в паре трения с полиамидом ПА-66.

- Таблицы параметров пространственного распределения ионно-имплантированных примесей / Под ред. А.Ф. Буренкова, Ф.Ф. Комарова, М.А. Кумахова, М.М. Темкина. Минск: Изд-во БГУ, 1980. 352 с.
- Brown, I.G., Feinberg B., Galvin J.E. Multiply stripped ion generation in the metal vapor vacuum arc // J. Appl. Phys. 1988. V. 63. № 10. P. 4889–4898.
- Диаграммы состояния двойных металлических систем: Справочник в 3 т.: Т. 1 / Под ред. Н.П. Лякишева. М.: Машиностроение, 1996. 996 с.

Поступила 30.03.2009 г.